

# Analisi del volto

Localizzazione

Annalisa Franco  
annalisa.franco@unibo.it

Dario Maio  
dario.maio@unibo.it

2

## Introduzione

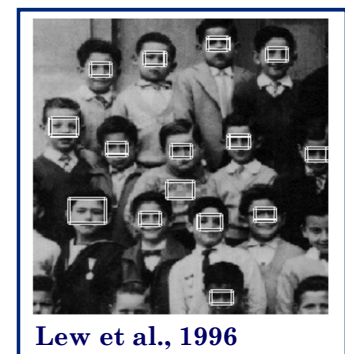
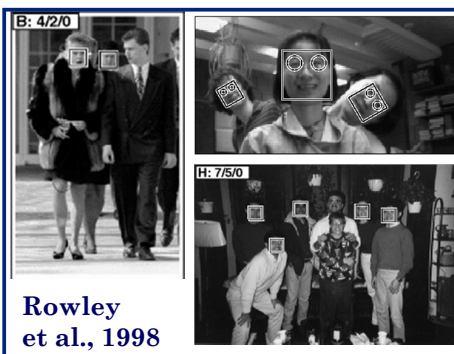
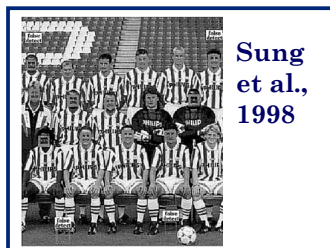
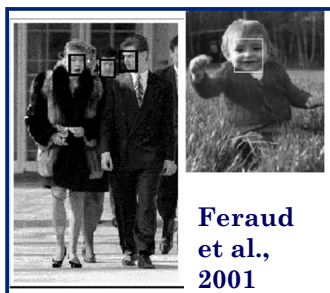
- Problema: data una singola immagine o una sequenza video rilevare la presenza di uno o più volti e localizzarne la posizione all'interno dell'immagine.
- È necessaria l'indipendenza rispetto a:
  - posizione, orientazione, scala, espressione del volto;
  - fattori esterni quali l'illuminazione o la presenza di uno sfondo complesso.



# Quante facce vedete?



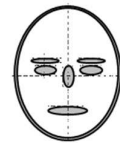
## Risultati di algoritmi allo stato dell'arte



# Approcci alla localizzazione (1)

## Tecniche feature-based

- Usano esplicitamente la conoscenza dell'aspetto del volto, caratterizzato da un insieme di feature di basso livello:
  - *Low-level analysis*: proprietà dei pixel
    - Edges
    - Colore della pelle
  - *Feature analysis*: informazioni sulla geometria del volto
    - Constellation
    - Feature searching
  - *Template matching*: modello standard di un volto definito manualmente o descritto da una funzione
    - Correlazione
    - Snakes
    - Active Shape Models

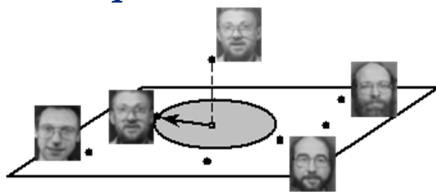


# Approcci alla localizzazione (2)

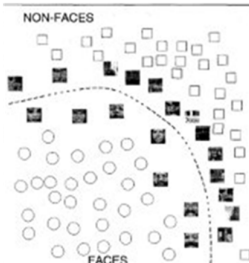
## Tecniche image-based

- Affrontano il problema della localizzazione del volto come un generico problema di pattern recognition;
- L'obiettivo è imparare a riconoscere un'immagine di un volto sulla base di alcuni esempi di training.

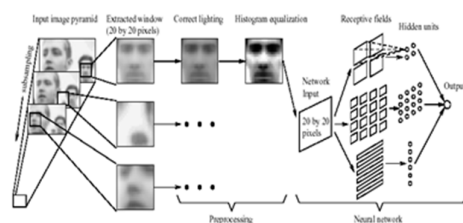
### Subspace methods



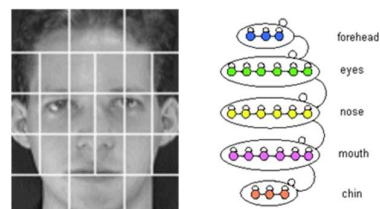
### Support Vector Machine



### Neural networks

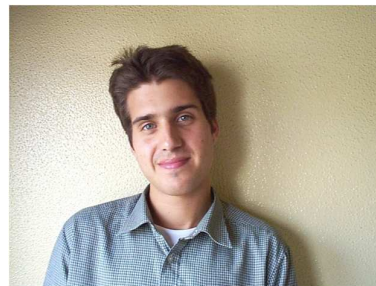


### Hidden Markov Model



## Localizzazione in immagini a colori

- Algoritmo:
  - Compensazione della luce
  - Localizzazione basata sul colore della pelle
  - Localizzazione delle principali caratteristiche del volto (occhi, bocca, contorno del viso).



Face Image



Eye Map



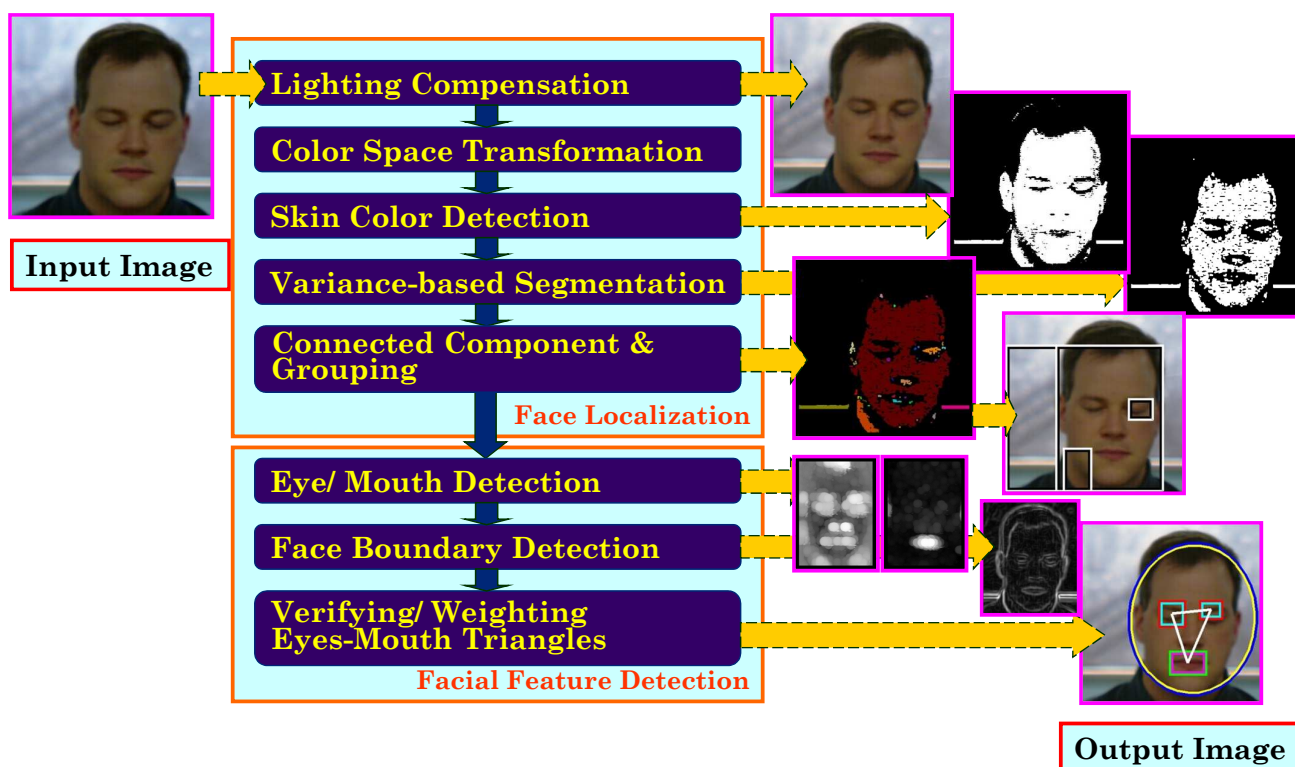
Mouth Map



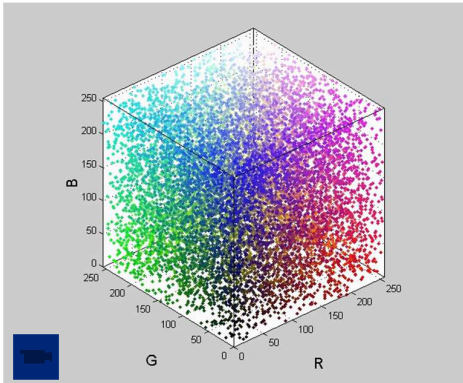
Boundary Map

R.L. Hsu, M.A. Mottaleb, A.K. Jain, "Face Detection in Color Images", *IEEE Transactions on Pattern Analysis and Machine Intelligence*, vol. 24, no. 5, pp. 696-706, 2002.

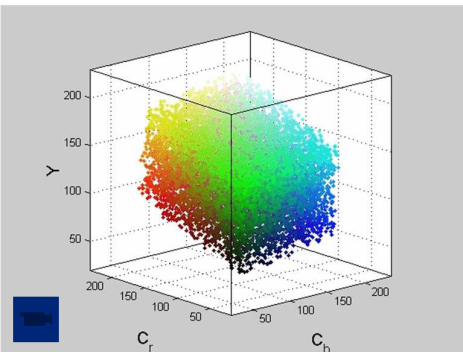
## L'algoritmo di localizzazione



# Spazio colorimetrico



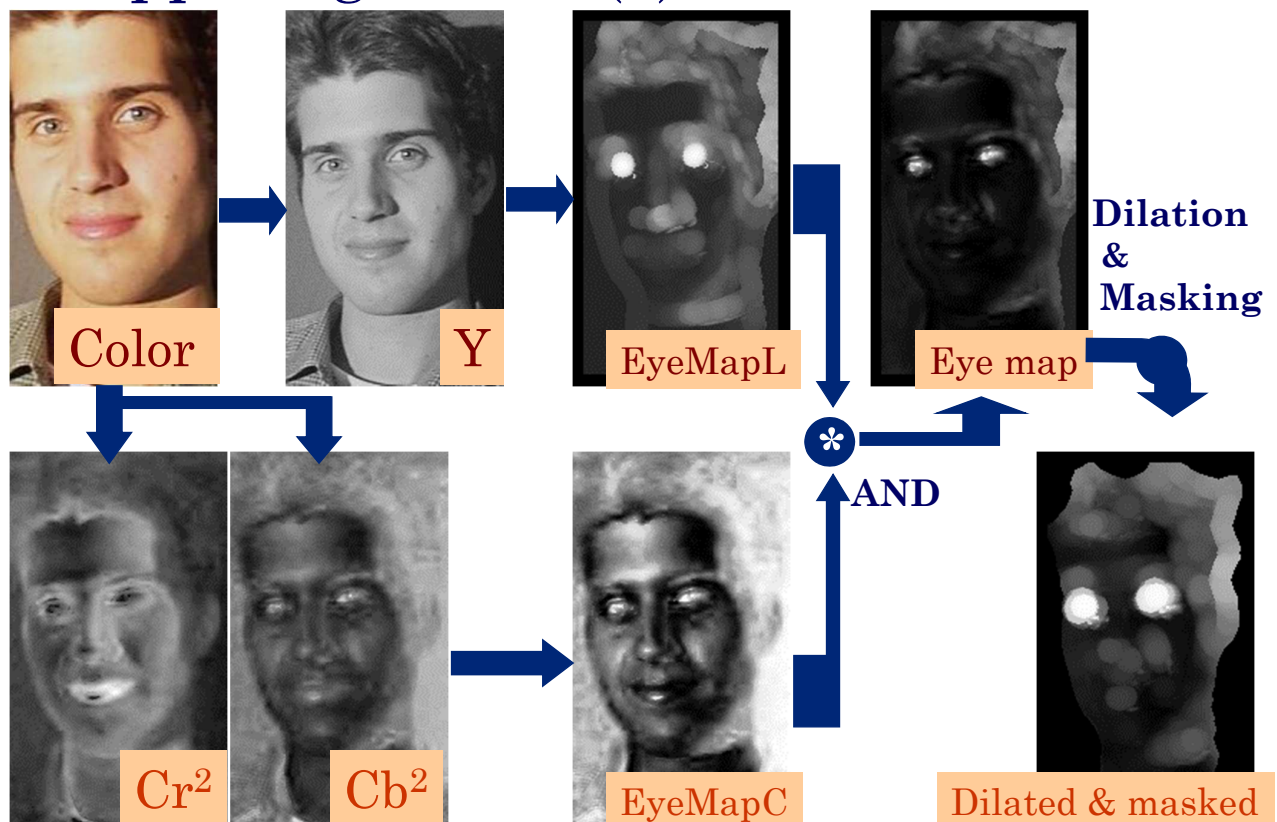
Spazio RGB (Red-Green-Blue)



Spazio Luma-Chroma(YCbCr)

$$\begin{bmatrix} Y \\ C_B \\ C_R \end{bmatrix} = \begin{bmatrix} 16 \\ 128 \\ 128 \end{bmatrix} + \frac{1}{256} \begin{bmatrix} 65.738 & 129.057 & 25.064 \\ -37.945 & -74.494 & 112.439 \\ 112.439 & -94.154 & -18.285 \end{bmatrix} \cdot \begin{bmatrix} R \\ G \\ B \end{bmatrix}$$

## Mappa degli occhi (1)



## Mappa degli occhi (2)

- L'algoritmo costruisce due diverse mappe degli occhi (**crominanza** e **luminanza** ).
  - **Crominanza**: la regione circostante gli occhi è caratterizzata da valori elevati di  $C_b$  e bassi di  $C_r$ :

$$EyeMapC = \frac{1}{3} \left\{ (C_b^2) + (\tilde{C}_r^2) + \left( \frac{C_b}{C_r} \right) \right\} \quad \tilde{C}_r = 255 - C_r$$

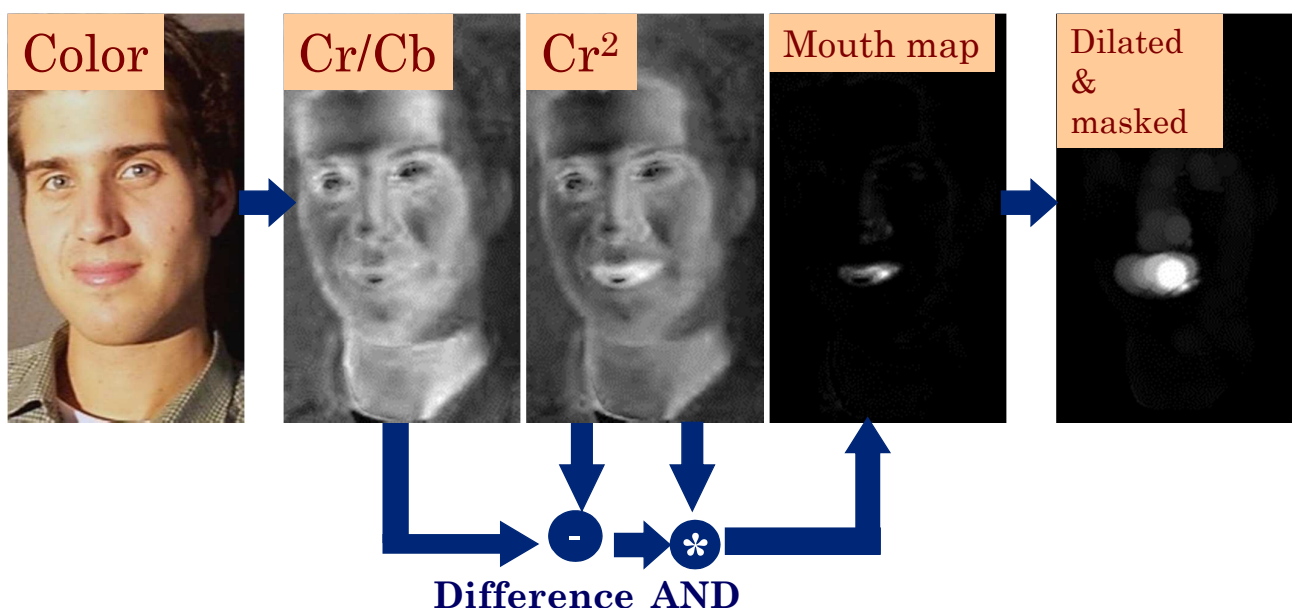
- **Luminanza**: gli occhi contengono solitamente sia regioni chiare sia zone più scure; opportuni operatori morfologici possono evidenziare tali caratteristiche.

$$EyeMapL = \frac{Y(x, y) \oplus g_\sigma(x, y)}{Y(x, y) \ominus g_\sigma(x, y) + 1}$$

- La mappa relativa alla crominanza è sottoposta a equalizzazione dell'istogramma e poi combinata con la mappa risultante dalla luminanza (AND).
- La mappa risultante dalla combinazione è poi sottoposta a dilatazione, mascherata e normalizzata per eliminare le altre regioni del volto ed evidenziare gli occhi.

## Mappa della bocca (1)

La bocca è caratterizzata da una preponderanza della componente rossa rispetto a quella blu.



## Mappa della bocca (2)

- Nella regione della bocca la componente  $C_r$  è maggiore di  $C_b$ ; inoltre la risposta a  $C_r/C_b$  è bassa, mentre la risposta a  $C_r^2$  è elevata.

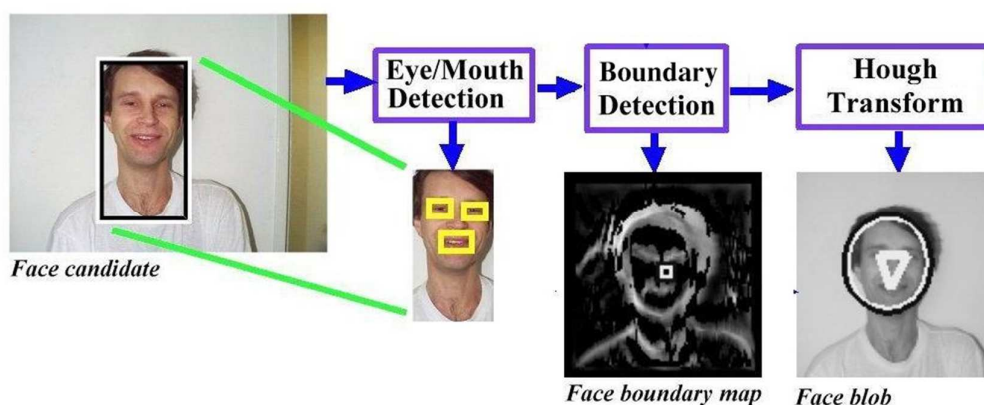
$$\text{MouthMap} = C_r^2 \cdot \left( C_r^2 - \eta \cdot C_r / C_b \right)^2$$

$$\eta = 0.95 \cdot \frac{\frac{1}{n} \sum_{(x,y) \in FG} C_r(x,y)^2}{\frac{1}{n} \sum_{(x,y) \in FG} C_r(x,y) / C_b(x,y)}$$

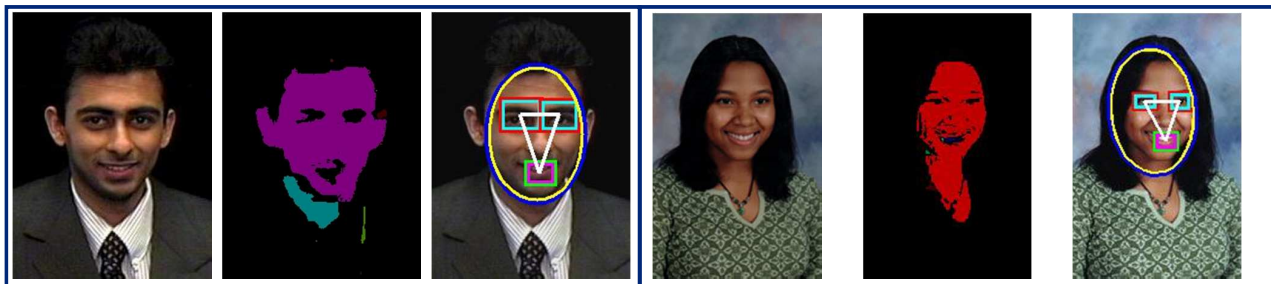
$n$  è il numero di pixel contenuti nella maschera che delimita il volto ( $FG$ )

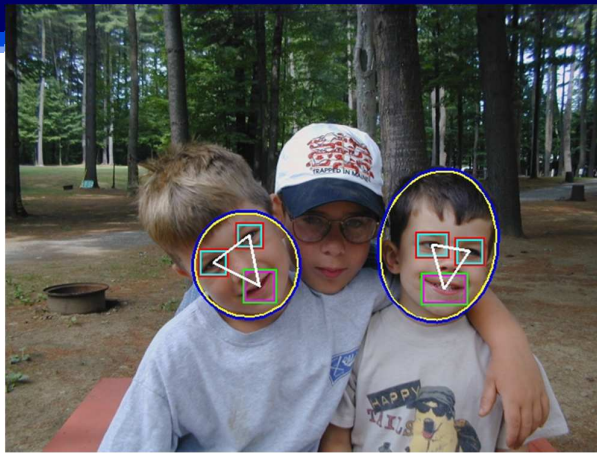
## Mappa del contorno del volto

- Si analizzano tutti i triangoli occhi bocca dati dalla combinazione di due occhi e una bocca candidati.
- Ogni triangolo viene controllato verificando:
  - Variazioni nel componente luma e media del gradiente delle orientazioni;
  - Geometria e orientazione del triangolo;
  - Presenza di un contorno del volto attorno al triangolo.
- A tutti i triangoli che verificano le condizioni precedenti è assegnato uno score e viene infine selezionato il triangolo che ottiene lo score maggiore (se superiore a una soglia).



# Risultati di localizzazione





# Localizzazione su immagini a livelli di grigio

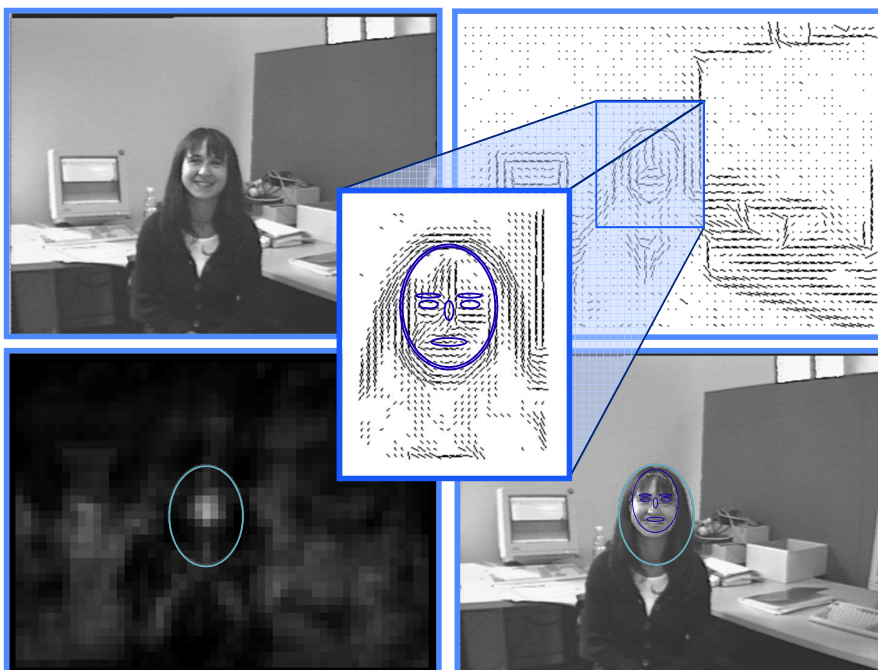


Immagine delle orientazioni locali (multi-risoluzione)

Directional Image computation

Approximate location

Directional Image refining

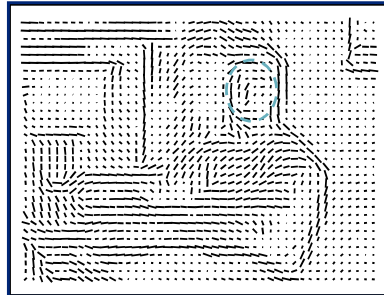
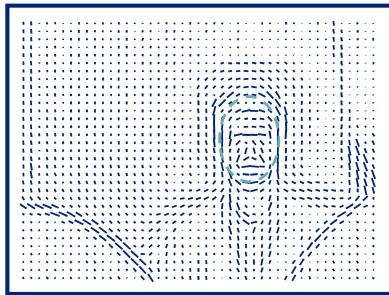
Fine location & face verification

**Trasformata Hough sulle orientazioni (spazio Hough)**

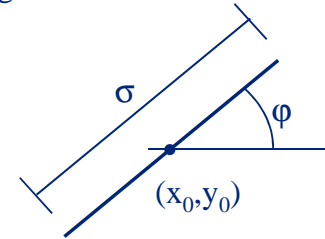
**Template Matching (su orientazioni)**

# Localizzazione approssimata

*Ricerca di blob ellittici sull'immagine delle orientazioni.*



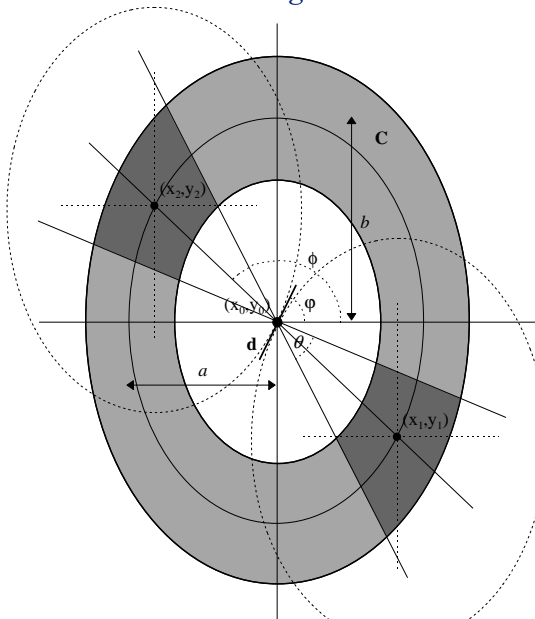
Un generico elemento  $d \in D$



- 1 Calcolo dell'immagine  $D$  delle orientazioni
- 2 Generalized Hough Transform (GHT) usando settori di corone ellittiche come template.
- 3 Ricerca di massimi in un array di accumulatori

## Localizzazione approssimata con GHT

◆ Data un'immagine delle orientazioni  $D$  e un array di accumulatori  $A$ :



Reset  $A$  ;

$\forall$  element  $d \in D$

{  $T = \text{compute template}(x_0, y_0, \phi)$  ;

$\forall$  pixel  $(x, y) \in T$

{  $A[x, y] = A[x, y] + \sigma \cdot \text{weight}_T(x, y)$  ;

}

Per ogni elemento  $d \in D$  si calcola un differente template  $T$  al fine di aggiornare l'array di accumulatori  $A$  tenendo conto di:

- un intervallo di variazione :

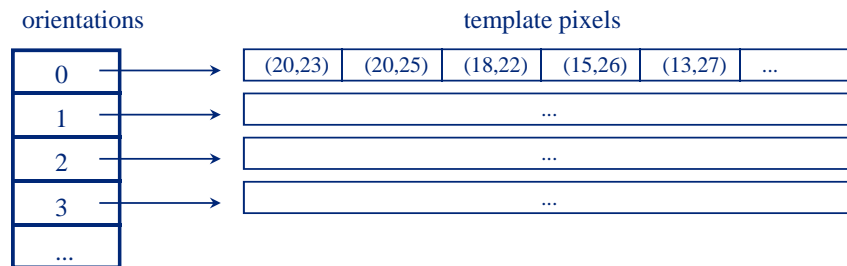
$$a_{\min} \leq a \leq a_{\max}, b_{\min} \leq b \leq b_{\max}$$

- un errore angolare  $\theta$

I punti  $(x_1, y_1)$  e  $(x_2, y_2)$  corrispondono ai centri delle 2 sole ellissi di semiassi  $(a, b)$  il cui bordo è tangente a  $d$  nel punto  $(x_0, y_0)$ . Essendo interessati a tutte le ellissi nel range  $(a_{\min} \dots a_{\max}, b_{\min} \dots b_{\max})$  è necessario considerare come centri tutti i punti giacenti sui 2 segmenti determinati dall'intersezione della retta passante per  $(x_1, y_1)$  e  $(x_2, y_2)$  con la corona  $C$ . Assumendo un errore massimo angolare si determina il luogo geometrico dei possibili centri di ellissi in grado di generare in  $(x_0, y_0)$  un vettore  $d$  di direzione  $\phi$ .

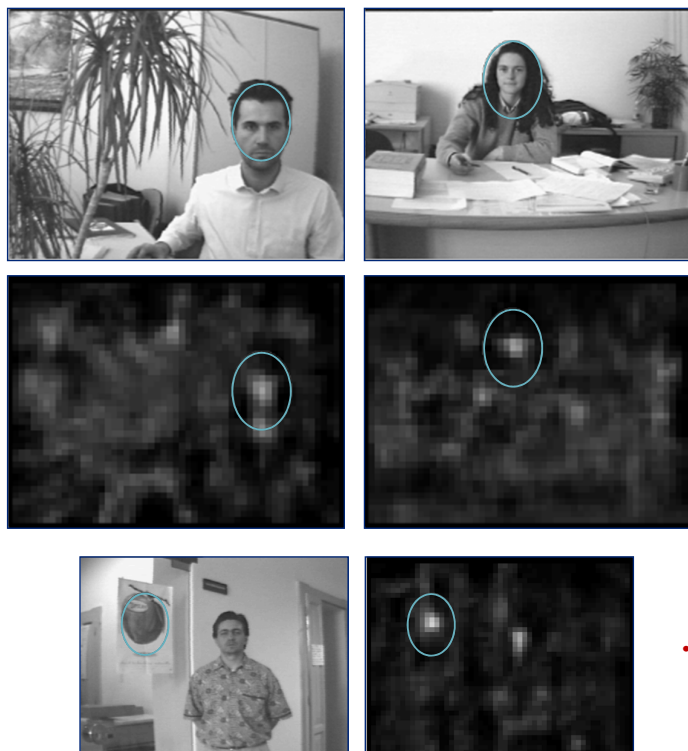
## Implementazione efficiente

- ☑ **Discretizzazione** delle orientazioni degli elementi in  $\mathbf{D}$  (es. 256 valori)
- ☑ **Pre-Calcolo** dei template  $\mathbf{T}$ ; usando coordinate relative rispetto al centro dell'ellisse, il numero dei differenti template corrisponde al numero di differenti



- ☑ **Discretizzazione** dell'accumulatore  $\mathbf{A}$

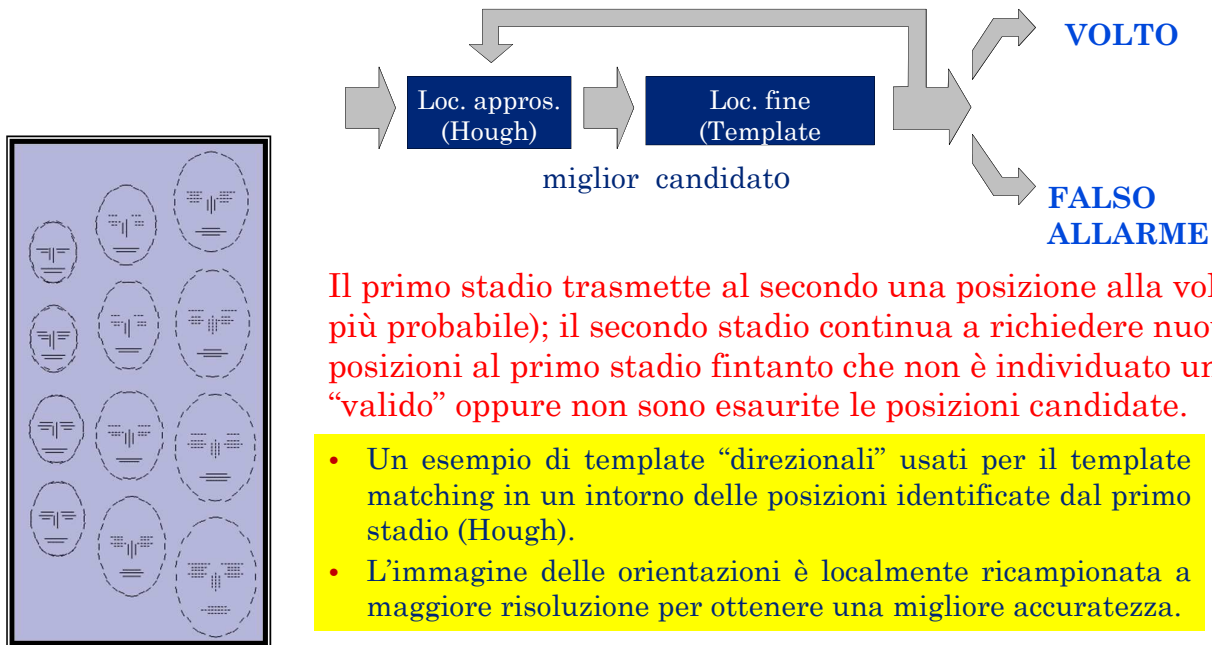
## Risultato della localizzazione



... un errore

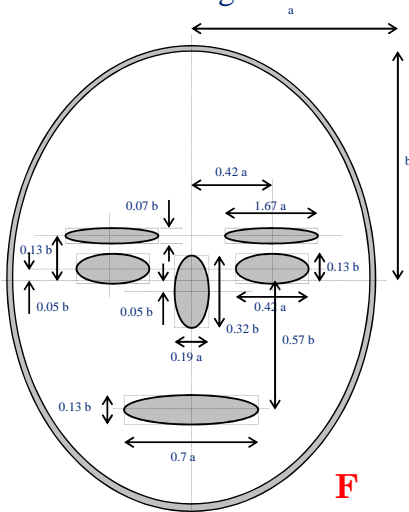
# Raffinamento della localizzazione

- Un passo di **localizzazione fine** è necessario per:
  - **scartare** i massimi di Hough che pur essendo ellissi non sono volti
  - **localizzare più esattamente** il centro



# Maschere parametriche

**F** è una maschera, definita in modo parametrico rispetto ad **a** e **b**, che assume valori non nulli (**orientazione + modulo**) solo in corrispondenza dei nodi di una griglia della medesima granularità di **D**.



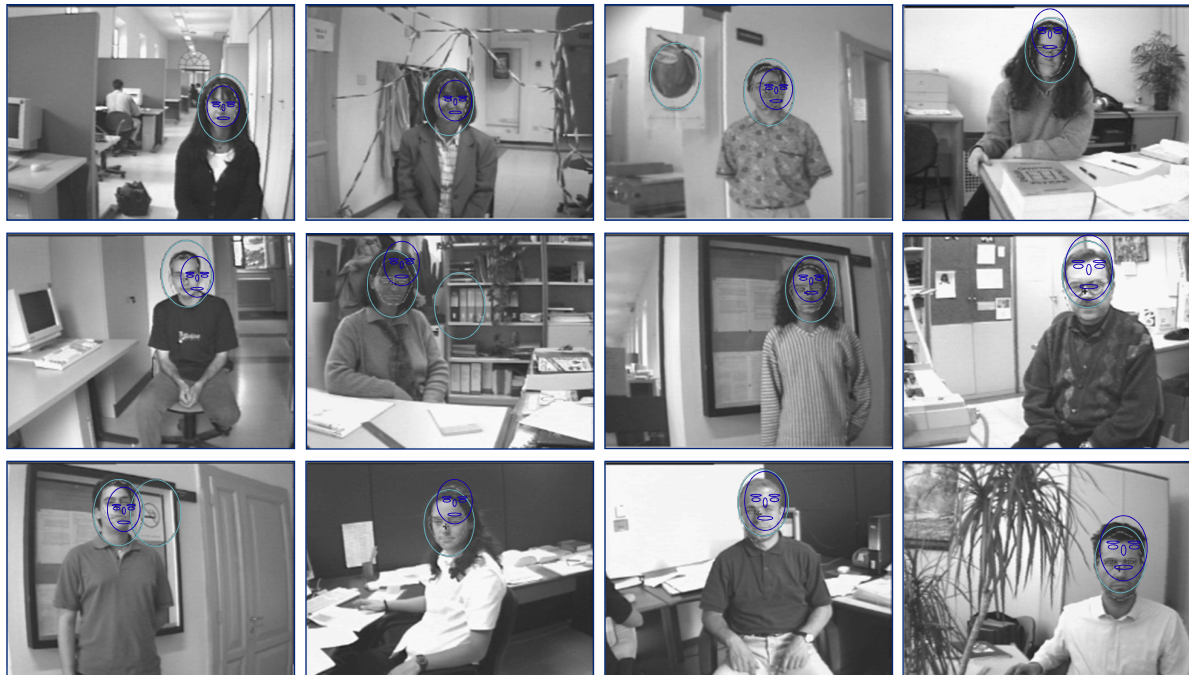
Inoltre, solo i nodi di **F** che appartengono alle 5 regioni grigie hanno moduli non nulli:

- ◆ bocca, occhi e sopracciglia → **orizzontale**
- ◆ naso → **verticale**
- ◆ bordo → **tangente all'ellisse**

**Ogni regione ha un peso globale uniformemente distribuito tra i suoi elementi**

Discretizzando  $a$  e  $b$  nel range  $(a_{\min} \dots a_{\max}, b_{\min} \dots b_{\max})$  è possibile pre-calcolare un insieme di maschere  $F = \{ F_1, F_2, \dots, F_m \}$ , in ciascuna delle quali la posizione dei nodi è espressa in coordinate relative rispetto al centro, che possono essere efficientemente utilizzate per calcolare il grado di correlazione in qualsiasi posizione dell'immagine delle orientazioni.

## Esempi di localizzazione fine



## Il localizzatore di Viola e Jones (1)

- La proposta di Paul Viola e Michael Jones, introdotta in generale per la localizzazione di oggetti, è stata applicata con successo all'individuazione di volti. Prevede di creare un **classificatore** che inizialmente è addestrato mediante multiple istanze della classe da individuare (*esempi positivi*), e varie istanze di *esempi negativi*, ovvero immagini che non contengono alcun oggetto della classe in esame.
- Durante il training sono estratte diverse caratteristiche dagli esempi e selezionate quelle che risultano particolarmente discriminanti. Questo tipo di informazione è racchiusa nei parametri del modello statistico.
- Se il classificatore addestrato non trova un oggetto che invece è presente (*miss*) oppure ne indica erroneamente la presenza (*false alarm*), si può ricalibrare il suo addestramento aggiungendo gli esempi corrispondenti (positivi o negativi) al training set.

## Il localizzatore di Viola e Jones (2)

- Metodo di tipo image-based.
- Usa un classificatore in grado di associare un pattern in input a una delle due classi **volto/non volto**:
  - Le immagini dei volti hanno proprietà comuni;
  - Le immagini che non rappresentano volti sono estremamente irregolari.

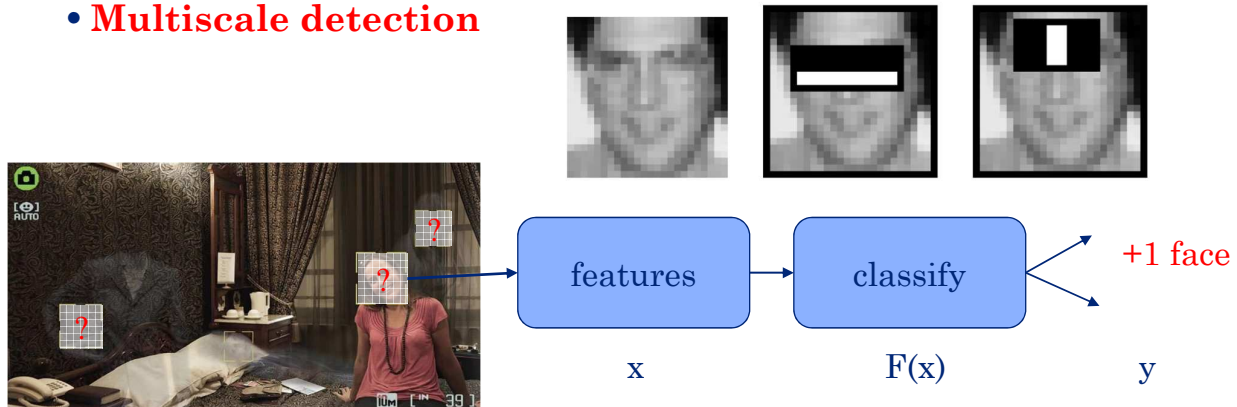


Paul Viola, Michael Jones, Robust Real-Time Face Detection, International Journal of Computer Vision 57(2), 137–154, 2004

## Il localizzatore di Viola e Jones (3)

I tre più importanti contributi dell'approccio sono:

- Estrazione e valutazione di **Haar-like feature**
- Classificazione mediante **boosting** (costruzione di un classificatore robusto come combinazione di molteplici classificatori semplici)
- **Multiscale detection**



la localizzazione è effettuata facendo scorrere una finestra di ricerca (le cui dimensioni possono variare) sull'immagine, estraendo le feature presenti nella finestra e classificando la finestra come volto o non volto.

## AdaBoost learning procedure

- **Obiettivo:** costruire un classificatore **non lineare** complesso  $H_M(x)$  come **combinazione lineare** di  $M$  classificatori più semplici detti classificatori deboli (*weak classifiers*):

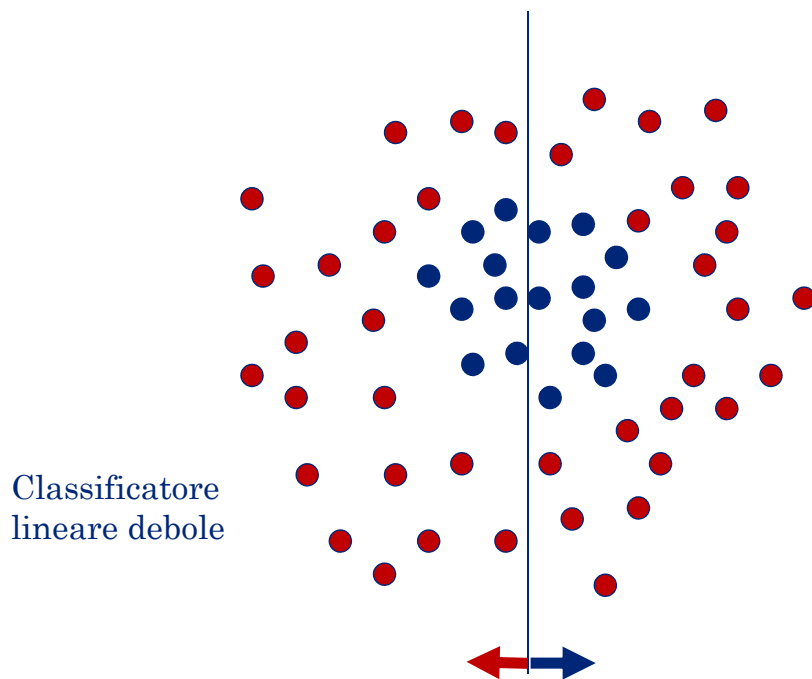
$$H_M(x) = \frac{\sum_{m=1}^M \alpha_m h_m(x)}{\sum_{m=1}^M \alpha_m}$$

- dove  $x$  è un pattern da classificare,
  - $h_m(x) \in \{-1, +1\}$  sono i classificatori deboli,
  - $\alpha_m \geq 0$  sono i corrispondenti fattori di peso,
  - $\sum_{m=1}^M \alpha_m$  è il fattore di normalizzazione
- N.B. : nella versione discreta  $h_m(x)$  assume un valore discreto in  $\{-1, +1\}$

## AdaBoost: idea di base

- **AdaBoost è una tecnica di addestramento che ha lo scopo di apprendere la sequenza ottimale di classificatori deboli e i corrispondenti pesi.**
- Richiede un insieme di **pattern di training**  $\{(x_1, y_1), (x_2, y_2), \dots, (x_N, y_N)\}$ , dove  $y_i \in \{-1, +1\}$  è l'etichetta della classe associata al pattern  $x_i \in \mathcal{R}^n$ .
- Durante l'apprendimento è calcolata e aggiornata una **distribuzione di pesi**  $[w_1, w_2, \dots, w_N]$  associati ai pattern di training ;  $w_i$  è associato al pattern  $(x_i, y_i)$ .
- Dopo l'iterazione  $m$ , è assegnato ai pattern più difficili da classificare un peso  $w_i^{(m)}$  superiore, cosicché alla successiva iterazione  $m+1$  tali pattern riceveranno un'attenzione maggiore.
- AdaBoost assume di avere a disposizione una procedura per l'apprendimento di un classificatore debole a partire da un insieme di pattern di training, data la distribuzione  $[w_i^{(m)}]$ .

## Un esempio



Classificatore  
lineare debole

Ogni punto ha  
un'etichetta che ne  
indica la classe:

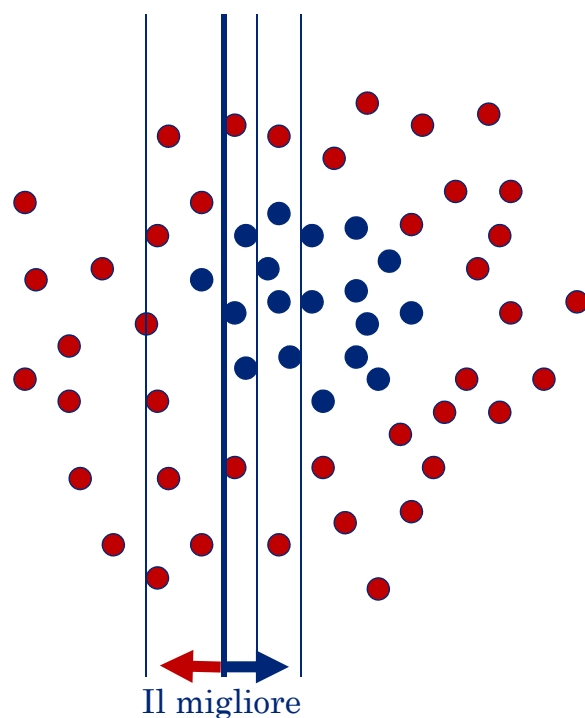
$$y_i = \begin{cases} +1 & (\bullet) \\ -1 & (\bullet) \end{cases}$$

e un peso:

$$w_i = 1$$

ripreso da Antonio Torralba @MIT

## Un esempio



Il migliore

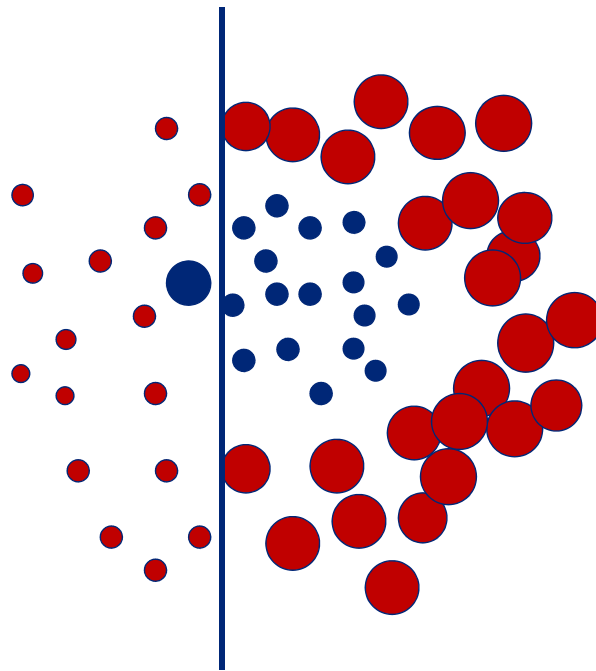
Ogni punto ha  
un'etichetta che ne  
indica la classe:

$$y_i = \begin{cases} +1 & (\bullet) \\ -1 & (\bullet) \end{cases}$$

e un peso:

$$w_i = 1$$

## Un esempio



Ogni punto ha un'etichetta che ne indica la classe:

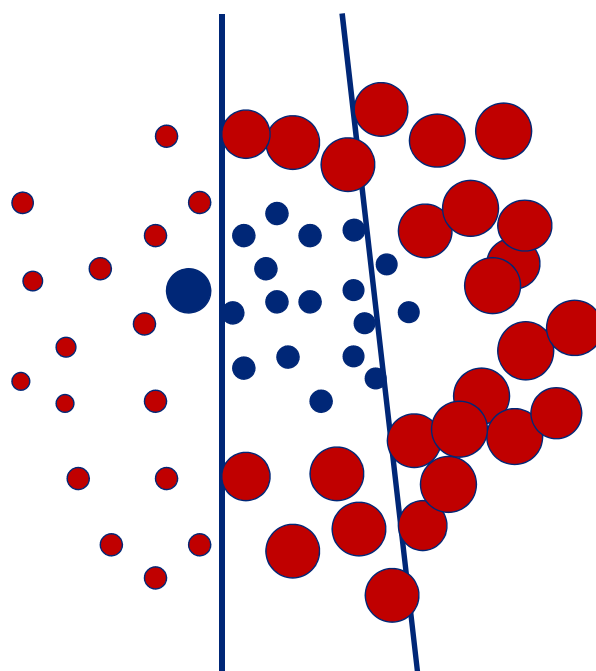
$$y_i = \begin{cases} +1 & (\bullet) \\ -1 & (\bullet) \end{cases}$$

**Aggiornamento pesi:**

$$w_i \leftarrow \exp\{-y_i H_M(x_i)\}$$

Formuliamo ora un nuovo problema...

## Un esempio



Ogni punto ha un'etichetta che ne indica la classe:

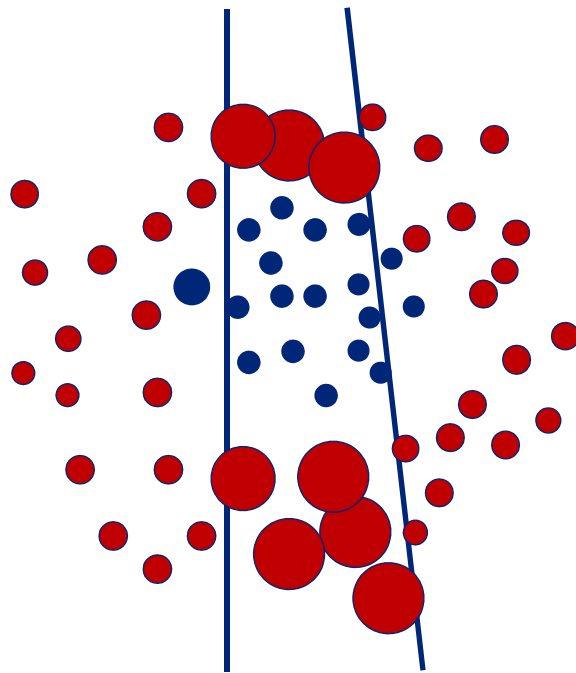
$$y_i = \begin{cases} +1 & (\bullet) \\ -1 & (\bullet) \end{cases}$$

**Aggiornamento pesi:**

$$w_i \leftarrow \exp\{-y_i H_M(x_i)\}$$

Formuliamo ora un nuovo problema...

# Un esempio



Ogni punto ha un'etichetta che ne indica la classe:

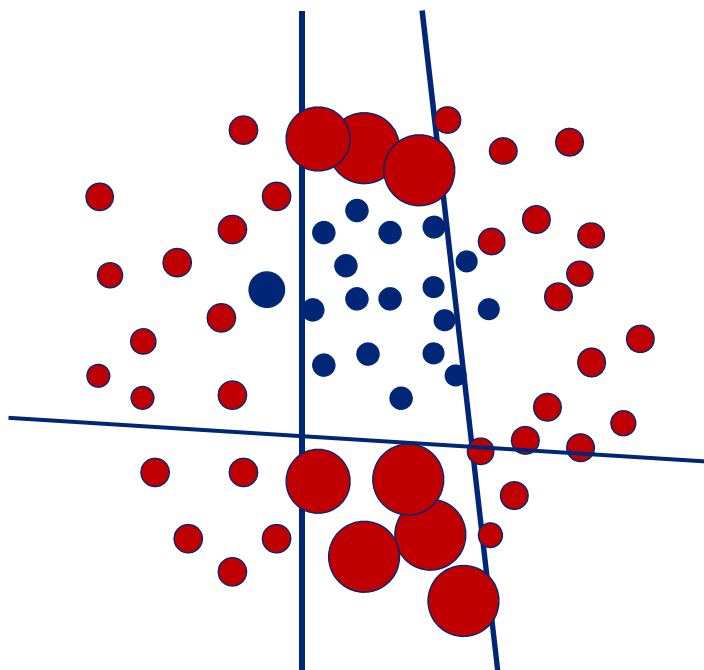
$$y_i = \begin{cases} +1 & (\bullet) \\ -1 & (\bullet) \end{cases}$$

**Aggiornamento pesi:**

$$w_i \leftarrow \exp\{-y_i H_M(x_i)\}$$

Formuliamo ora un nuovo problema...

# Un esempio



Ogni punto ha un'etichetta che ne indica la classe:

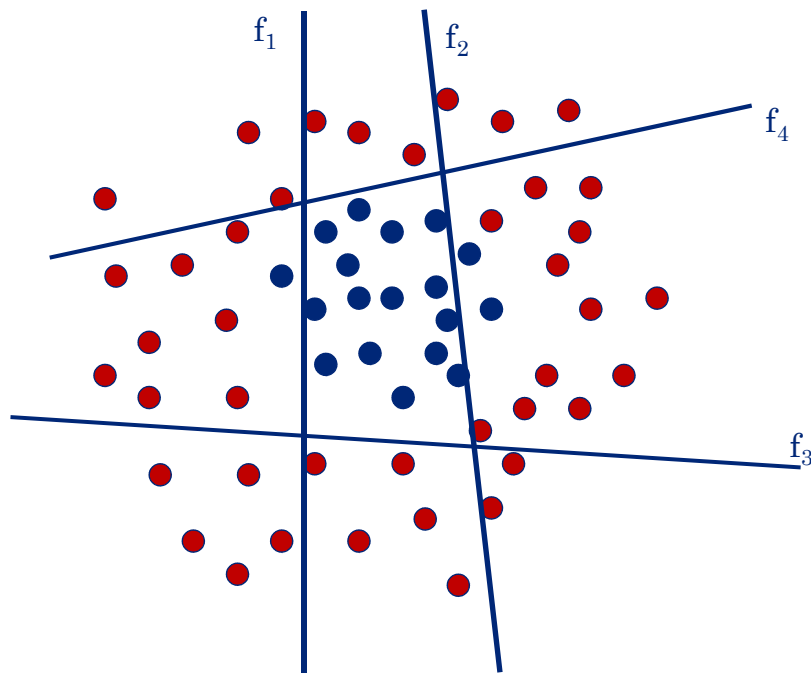
$$y_i = \begin{cases} +1 & (\bullet) \\ -1 & (\bullet) \end{cases}$$

**Aggiornamento pesi:**

$$w_i \leftarrow \exp\{-y_i H_M(x_i)\}$$

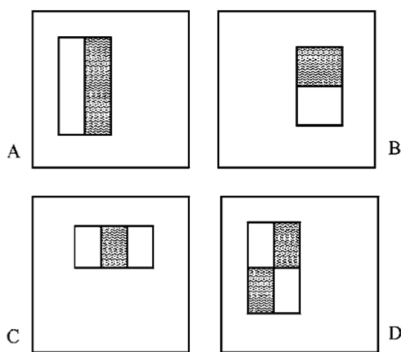
Formuliamo ora un nuovo problema...

# Un esempio



Il classificatore robusto (**non lineare**) è costituito da una combinazione di classificatori deboli (**lineari**).

## Haar-like features



- Il localizzatore di Viola e Jones, nelle sue molteplici varianti, utilizza alcuni tipi di feature di base. Ogni feature è posizionata in una sottoregione di una sottofinestra dell'immagine.
- Le feature sono applicate modificandone la dimensione, la forma, e la posizione nella sottofinestra.

Esempio: A, B feature con due rettangoli, C con tre, D con quattro

Usando una sottofinestra di dimensione  $24 \times 24$ , al variare della posizione, forma e dimensione si possono ottenere decine di migliaia di feature.

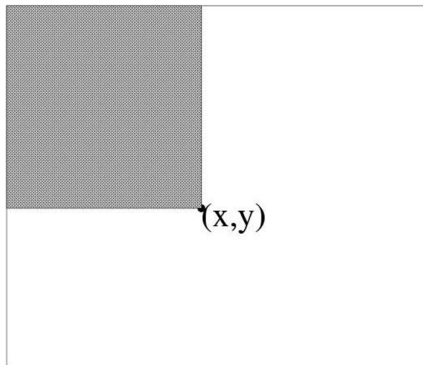
Queste feature sono utilizzate poiché:

- sono efficaci ai fini della localizzazione del volto;
- possono essere calcolate in modo efficiente usando l'*immagine integrale*.

## L'immagine integrale (2)

L'*immagine integrale* in posizione  $(x,y)$  è la somma del valore dei pixel sopra e a sinistra di  $(x,y)$ :

$$II(x, y) = \sum_{x' \leq x, y' \leq y} I(x', y')$$



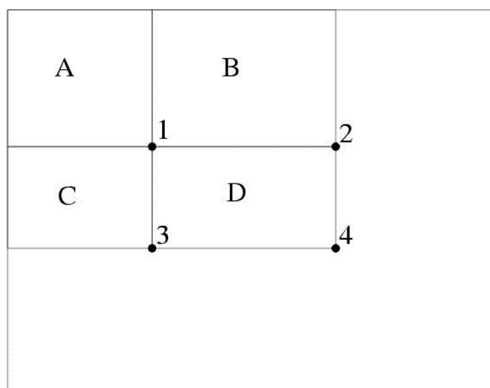
L'immagine integrale può essere calcolata con **una sola scansione** dell'immagine originale usando le seguenti formule ricorsive:

$$S(x, y) = S(x, y-1) + I(x, y)$$

$$II(x, y) = II(x-1, y) + S(x, y)$$

dove  $I(x, y)$  è il valore del pixel nell'immagine originale,  $S(x, y)$  è la somma cumulativa per righe,  $S(x, -1) = 0$  e  $II(-1, y) = 0$ .

## Calcolo efficiente di feature rettangolari



Usando l'immagine integrale, è possibile calcolare la somma del valore dei pixel in qualsiasi rettangolo.

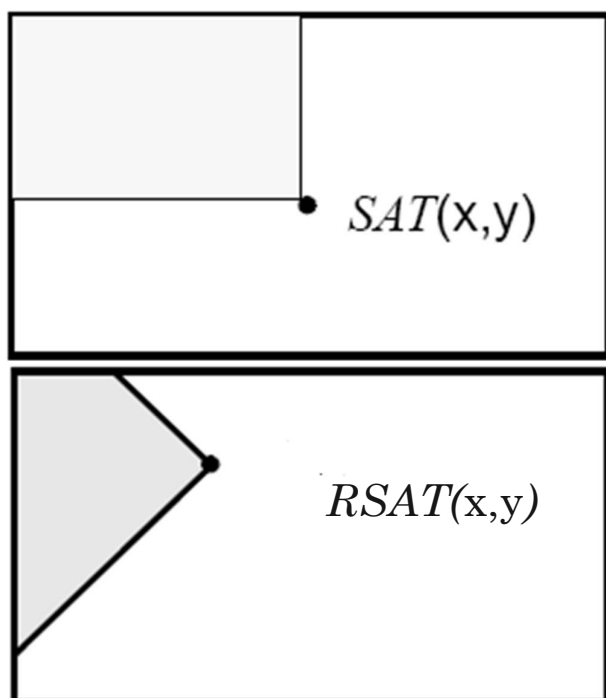
Ad esempio la somma all'interno del rettangolo D è data da:

$$II(4) + II(1) - II(2) - II(3)$$

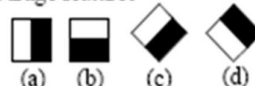
Le feature caratterizzate da 2, 3 o 4 rettangoli possono essere calcolate usando rispettivamente 6, 8 e 9 valori di riferimento.

## Estensione delle feature (1)

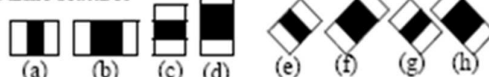
set di feature introdotto da Lienhart e Maydt



1. Edge features



2. Line features



3. Center-surround features



Rotazioni a 45°

4. Not used



Vi sono ora due tipi di immagini integrali

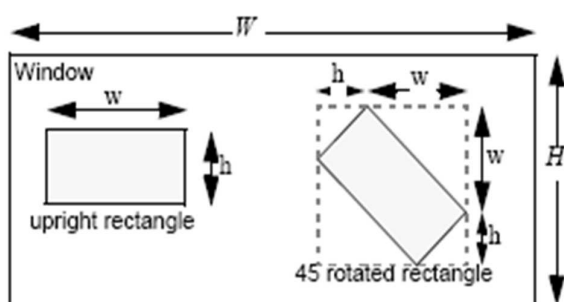
**Sum Area Table**

$$SAT(x,y) = \sum_{x' \leq x, y' \leq y} I(x',y')$$

**Rotated Sum Area Table**

$$RSAT(x,y) = \sum_{x' \leq x, x' \leq x - |y - y'|} I(x',y')$$

## Estensione delle feature (2)



Feature Type	w/h	X/Y	#
1a : 1b	2/1 : 1/2	12/24 ; 24/12	43,200
1c : 1d	2/1 : 1/2	8/8	8,464
2a : 2c	3/1 : 1/3	8/24 ; 24/8	27,600
2b : 2d	4/1 : 1/4	6/24 ; 24/6	20,736
2e : 2g	3/1 : 1/3	6/6	4,356
2f : 2h	4/1 : 1/4	4/4	3,600
3a	3/3	8/8	8,464
3b	3/3	3/3	1,521
Sum			117,941

Dimensione della finestra di detection :  $W \times H$

Fattori massimi di scala lungo x e y  $X = \left\lfloor \frac{W}{w} \right\rfloor$   $Y = \left\lfloor \frac{H}{h} \right\rfloor$

- Il valore della caratteristica è calcolato come **somma pesata di due componenti**: la somma dei pixel corrispondenti alla regione scura e la somma di quelli all'interno della regione bianca.

- I segni dei due pesi sono opposti e i loro valori assoluti sono inversamente proporzionali alle aree delle rispettive regioni, in modo da effettuare un calcolo normalizzato.

## Estensione delle feature (3)

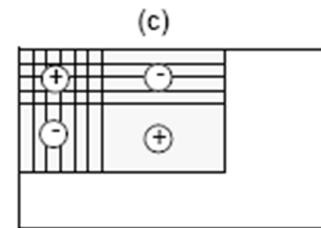
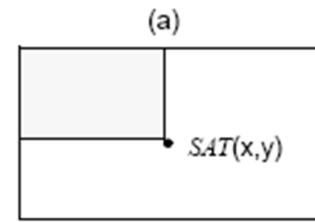
- **Calcolo di SAT in un solo passo**

$$SAT(-1,y) = SAT(x,-1) = 0$$

$$SAT(x,y) = SAT(x,y-1) + SAT(x-1,y) + I(x,y) - SAT(x-1,y-1)$$

- Per ogni rettangolo  $r=(x,y,w,h,0)$  non ruotato la somma dei pixel può essere calcolata come:

$$RecSum(r) = SAT(x-1,y-1) + SAT(x+w-1,y+h-1) - SAT(x-1,y+h-1) - SAT(x+w-1,y-1)$$



## Estensione delle feature (4)

- **Calcolo di RSAT in due passi**

- Primo passo da sinistra a destra e dall'alto al basso

$$RSAT(x,y) = RSAT(x-1,y-1) + RSAT(x-1,y) + I(x,y) - RSAT(x-2,y-1)$$

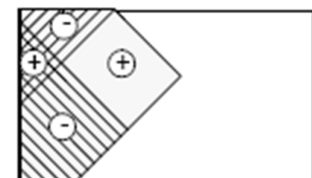
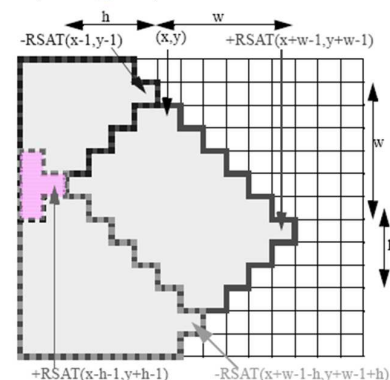
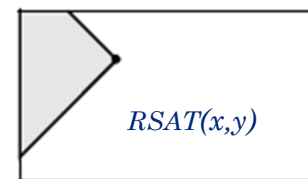
con  $RSAT(-1,y) = RSAT(-2,y) = RSAT(x,-1) = 0$

- Secondo passo da destra a sinistra e dal basso all'alto

$$RSAT(x,y) = RSAT(x,y) + RSAT(x-1,y+1) - RSAT(x-2,y)$$

- Per ogni rettangolo  $r=(x,y,w,h,0)$  ruotato di  $45^\circ$  la somma dei pixel può essere calcolata come:

$$RecSum(r) = RSAT(x+w,y+w) + RSAT(x-h,y+h) - RSAT(x,y) - RSAT(x+w-h,y+w+h)$$



## AdaBoost: il classificatore debole (1)

- Il più semplice classificatore debole è un **albero di decisione** con un singolo nodo.
- Supponiamo di aver costruito  $M-1$  classificatori deboli  $\{h_m(x)|m=1,\dots,M-1\}$  e di voler costruire  $h_M(x)$ . Il classificatore confronta il valore di una feature  $z_{k^*}$  con una soglia prefissata  $\tau_{k^*}$  e assegna i valori  $+1$  o  $-1$  di conseguenza:

$$h_M(x) = \begin{cases} +1 & \text{se } z_{k^*} > \tau_{k^*} \\ -1 & \text{altrimenti} \end{cases}$$

## AdaBoost: il classificatore debole (2)

- In questa forma  $h_M(x)$  dipende da due parametri:
  - la feature  $z_{k^*}$
  - il valore di soglia  $\tau_{k^*}$
- I due parametri possono essere fissati in base al minimo errore pesato di classificazione:
  - Scegliamo il valore di soglia  $\tau_k$  che minimizza l'errore di classificazione per ciascuna feature  $z_k$ ;
  - La feature  $z_{k^*}$  scelta per il classificatore corrente è quella che permette di ottenere l'errore di classificazione complessivamente più basso.

## AdaBoost: il classificatore robusto (1)

- AdaBoost apprende una sequenza di classificatori deboli  $h_m$  e li combina in un classificatore robusto  $H_M$ , **minimizzando l'upper bound all'errore di classificazione** di  $H_M$ . L'upper bound si ottiene con la seguente formula:

$$J(H_M) = \sum_i e^{-y_i H_M(x_i)} = \sum_i e^{-y_i \sum_{m=1}^M \alpha_m h_m(x_i)}$$

dove  $i$  è l'indice delle immagini di training.

- Dato il classificatore corrente  $H_{M-1}(x) = \sum_{m=1}^{M-1} \alpha_m h_m(x)$  e il nuovo classificatore debole  $h_M$ , il miglior coefficiente  $\alpha_M$  per il nuovo classificatore robusto  $H_M(x) = H_{M-1}(x) + \alpha_M h_M(x)$  minimizza il costo:

$$\alpha_M = \arg \min_{\alpha} J(H_{M-1}(x) + \alpha h_M(x))$$

## AdaBoost: il classificatore robusto (2)

- Il costo è minimo per:

$$\alpha_M = \log \frac{1 - \varepsilon_M}{\varepsilon_M}$$

- dove  $\varepsilon_M$  è l'errore di classificazione pesato:

$$\varepsilon_M = \sum_i w_i^{M-1} \cdot 1 \cdot [\text{sign}(H_M(x_i)) \neq y_i]$$

- $1 \cdot [C]$  è 1 se  $C$  è vera, 0 altrimenti.
- A ogni iterazione è aggiornato il peso di ciascun pattern in base alle prestazioni di  $H_M$ :

$$w^{(M)}(x, y) = w^{(M-1)}(x, y) \exp(-y \alpha_M h_M(x)) = \exp(-y H_M(x))$$

# AdaBoost: il classificatore robusto (3)

## 0. (Input)

- (1) Pattern di training  $\mathcal{Z} = \{(x_1, y_1), \dots, (x_N, y_N)\}$ , dove  $N=a+b$ ;  
 $a$  pattern hanno etichetta  $y_i = +1$   
 $b$  pattern hanno etichetta  $y_i = -1$ ;
- (2) Il numero  $M$  di classificatori da combinare.

## 1. (Inizializzazione)

- $$w_i^{(0)} = \frac{1}{2a} \text{ per i pattern con etichetta } y_i = +1$$
- $$w_i^{(0)} = \frac{1}{2b} \text{ per i pattern con etichetta } y_i = -1$$

## 2. (Costruzione del classificatore)

Per  $m = 1, \dots, M$ :

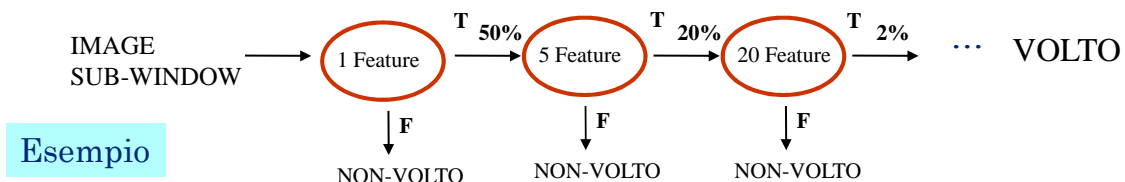
- (1) Scegli il classificatore debole ottimale  $h_m$  che minimizzi l'errore pesato
- (2) Scegli  $\alpha_m$
- (3) Aggiorna i pesi  $w_i^{(m)} \leftarrow w_i^{(m-1)} \exp[-y_i \alpha_m h_m(x_i)]$  e normalizzali ( $\sum_i w_i^{(m)} = 1$ ).

## 3. (Output)

- (1) Classificatore  $H_m(x)$
- (2) Classificazione dei pattern di training  $\hat{y} = \text{sign}[H_m(x)]$

# Classificatori robusti in cascata

- Un solo classificatore robusto, per quanto elimini una grande porzione di sottofinestre che non contengono facce, non soddisfa i requisiti di applicazioni in termini d'efficienza e di percentuale molto bassa di falsi allarmi (ad esempio  $\leq 10^{-6}$ ). Una possibile soluzione consiste nell'impiego di classificatori in cascata, via via più complessi.



### Esempio

- Un classificatore per una sola feature riesce a passare al secondo stadio la quasi totalità dei volti esistenti (circa 100%) mentre scarta al contempo il 50% dei falsi volti.
- Un classificatore per 5 feature raggiunge quasi il 100% di detection rate e il 40% di false positive rate (20% cumulativo) usando i dati dello stadio precedente.
- Un classificatore per 20 feature raggiunge quasi il 100% di detection rate con 10% di false positive rate (2% cumulativo).

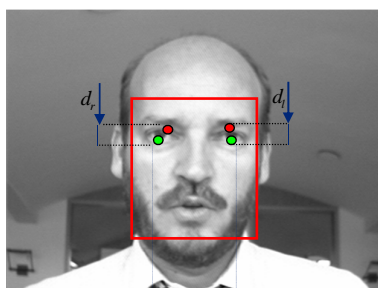
## Localizzazione dei volti



- La localizzazione dei volti avviene analizzando sottofinestre consecutive (sovrapposte) dell'immagine in input e valutando per ciascuna se appartiene alla classe dei volti.
- Il localizzatore di Viola e Jones è uno dei più robusti ed efficienti allo stato dell'arte
  - L'addestramento è molto lento (può richiedere giorni);
  - La procedura di localizzazione è molto efficiente (funzionamento real-time).

## Valutazione delle prestazioni di localizzazione: indicatori

Correttezza della localizzazione



$$err = \max(d_l, d_r) / d_{l,r}$$

Se  $err < 0.25$ , la localizzazione è considerata corretta

- Falsi positivi
  - Percentuale di finestre classificate come volto che in realtà non lo contengono.
- Facce non localizzate
  - Percentuale di volti che non sono stati individuati
- C-Error
  - **Errore di localizzazione:** distanza euclidea tra il reale centro della faccia e quello ipotizzato dal sistema, normalizzato rispetto alla somma degli assi dell'ellisse contenente il volto.

# Database di test

- BioID face database  
<http://www.bioid.com/downloads/facedb/index.php>
- UCD Colour Face Image (UCFI) Database  
<http://ee.ucd.ie/~prag/>
- CMU face database  
<http://vasc.ri.cmu.edu/idb/html/face/>



- Face detection home page:  
<http://www.facedetection.com/>